

## 活性汚泥フロック中の拡散係数について

岩手大学工学部 正員 ○相澤治郎  
石川 健  
小田島政信

1 はじめに 活性汚泥法は 今日最も一般的に用いられている廃水処理法の一つである。活性汚泥内の物質移動を考える場合、フロック中の拡散係数を測定する必要がある。しかし 活性汚泥フロック中の拡散係数の研究は、あまり行なわれていない。本研究は、活性汚泥フロックについて未反応芯モデルから酸素の拡散係数を算出した。また、 $F/M$ 比を変化させ振盪培養を行ない、拡散係数と汚泥性状の関係を検討した。

2 実験方法 (2-1) 飼養汚泥 汚泥は M処理場の曝気槽から採取したものである。その汚泥について 表-1に示す人工下水により Fill and Draw によって飼養を行なった。水温は、20°Cに保った。飼養汚泥について、以下に示す項目について分析・測定を行なった。  
 ①SV-30  
 ②MLSS, ③SVI, ④グルコース濃度, ⑤pH, ⑥汚泥CODcr,  
 ⑦汚泥Kj-N, ⑧酸素吸収速度, ⑨汚泥乾燥密度<sup>1)</sup>, ⑩汚泥湿润密度<sup>1,2)</sup>,  
 ⑪フロック数<sup>1)</sup>, ⑫フロック湿润体積<sup>1)</sup>, ⑬フロック球相当直径<sup>1)</sup>,  
 ⑭フロック比表面積<sup>1)</sup>

(2-2). 振盪培養 実験条件は、混合液量300ml、振盪回数100回/min、水温20°C、培養 $F/M$ 比0, 5, 10, 20, 50である。 $F/M$ 比は 汚泥量を約2000mg/lと一定にし 投入グルコース量を変化させた。経過時間0, 24, 48, 72, 96, 120, 192, 240, 288時間の培養汚泥について 飼養汚泥と同様に、①～⑭の分析・測定を行なった。

3 拡散係数算出方法 活性汚泥フロックを球体並びに平板と仮定し、未反応芯モデルから次の二つの方法により拡散係数を算出した。

(3-1) フロック球相当直径からの拡散係数算出方法

活性汚泥フロックを球体と仮定し 酸素吸収速度試験、フロック球相当直径及び(1), (2)式から拡散係数を算出した。

$$A/A' = 1 - \chi_c^3 \quad 0 \leq \chi_c \leq 1 \quad \dots \dots (1)$$

$$6D_n C_s / A a^2 = 1 - 3\chi_c^2 + 2\chi_c^3 \quad 0 \leq \chi_c \leq 1 \quad \dots \dots (2)$$

(3-2) 比表面積からの拡散係数算出方法

活性汚泥フロックを平板と仮定し、酸素吸収速度試験並びに 比表面積から、(3)式によって拡散係数を算出した。

$$A/A' = [(2C_s D_s)/Ab^2]^{1/2} - (2C_s D_s)/Ab^2 \quad 0 \leq C_s \leq C_{ref-b}, b = 2/A_v \quad \dots \dots (3)$$

$a$ : フロック球相当半径( $=1/2 d_n$ ) $\mu m$ ,  $D_s$ : 球相当直径による拡散係数( $cm^2/sec$ ),  $D_s$ : 比表面積による拡散係数( $cm^2/sec$ ),  $A'$ : 最大酸素吸収速度( $mg^0/g\cdot hr$ ) 重量基準,  $A_v'$ : 酸素吸収速度( $mg^0/g\cdot hr$ ) 重量基準,  $A$ : 最大酸素吸収速度( $mg^0/cm^3\cdot hr$ ) 体積基準,  $C_s$ : フロック表面での酸素濃度( $mg/l$ ),  $\chi_c$ : 全フロック半径と無酸素部分の半径の比,  $A_v$ : フロック比表面積( $cm^2$ )

表-1 人工下水基質組成

C <sub>6</sub> H <sub>12</sub> O <sub>6</sub>	600 (mg/l)	240 (mg/l) as C
NH <sub>4</sub> Cl	200 :	53 : as N
Na <sub>2</sub> HPO <sub>4</sub>	15 :	7 : as P
KH <sub>2</sub> PO <sub>4</sub>	15 :	4 : as Ca
CaCl <sub>2</sub> ·2H <sub>2</sub> O	15 :	8 : as K
KCl	15 :	1 : as Mg
MgSO <sub>4</sub> ·7H <sub>2</sub> O	15 :	3 : as Fe
FeCl <sub>3</sub> ·6H <sub>2</sub> O		
C:N:P	4.58 : 1 : 0.1	

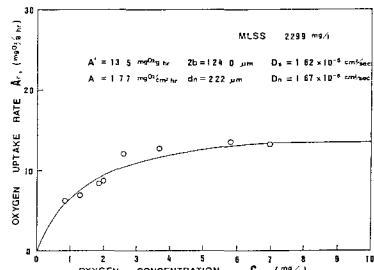


図1. 飼養汚泥の酸素吸収速度試験の結果例

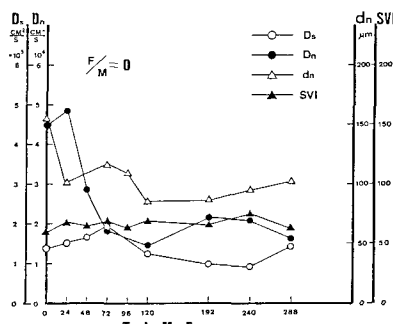


図2.  $F/M=0$ における経過時間ごとの拡散係数と汚泥性状

Cer: 最大酸素吸収速度を与えるフロック表面での最小酸素濃度(mg/l),  
 $d_n$ : フロック球相当直徑(μm)

4. 実験結果及び考察 図1には、馴養汚泥の酸素吸収速度試験の結果を示したものである。実験には、馴養開始後20日以降の汚泥を使用した。SVIは、45~75で安定していた。馴養汚泥フロックを球体と仮定し、球相当直徑を求める121~222μmであり平均164μmであった。比表面積法によって馴養汚泥フロックを平板と仮定し、比表面積を求める323~925(cm<sup>2</sup>)であり平均564(cm<sup>2</sup>)であった。これらの値から(1),(2)式によって拡散係数(D<sub>s</sub>)を算出すると、 $1.67 \sim 3.77 \times 10^{-6}$ (cm<sup>2</sup>/sec)であり平均 $2.33 \times 10^{-6}$ (cm<sup>2</sup>/sec)であった。また、(3)式によって拡散係数(D<sub>n</sub>)を算出すると、 $1.10 \sim 2.23 \times 10^{-5}$ (cm<sup>2</sup>/sec)であり平均 $1.65 \times 10^{-5}$ (cm<sup>2</sup>/sec)であった。図2には、F/M比0における経過時間ごとの拡散係数及び汚泥性状を示した。SVIは、60~70とほぼ一定値を示した。フロック球相当直徑は、24時間以降ほぼ一定で100μm程度であった。拡散係数(D<sub>s</sub>)は、0時間で $4.46 \times 10^{-6}$ (cm<sup>2</sup>/sec)から288時間後で $1.58 \times 10^{-6}$ (cm<sup>2</sup>/sec)と経過時間が長くなるほど小さくなる傾向を示した。また、拡散係数(D<sub>n</sub>)は、ほぼ一定で平均 $1.52 \times 10^{-5}$ (cm<sup>2</sup>/sec)であった。図3には、F/M比5における経過時間ごとの拡散係数及び汚泥性状を示した。SVIは、0時間で74から120時間後に200と増加する傾向を示した。球相当直徑は、ほぼ一定で平均135μm程度であった。しかしながら、拡散係数(D<sub>s</sub>)は、0時間で $8.98 \times 10^{-6}$ (cm<sup>2</sup>/sec)から120時間後に $16.65 \times 10^{-6}$ (cm<sup>2</sup>/sec)と大きくなる傾向を示した。また、拡散係数(D<sub>n</sub>)は、0時間で $2.50 \times 10^{-5}$ (cm<sup>2</sup>/sec)から120時間後に $7.70 \times 10^{-5}$ (cm<sup>2</sup>/sec)と大きくなる傾向を示した。図4には、F/M比10における経過時間ごとの拡散係数及び汚泥性状を示した。SVIは、ほぼ40程度であり、球相当直徑は、平均107μm程度であった。拡散係数(D<sub>s</sub>)は、0時間で $1.56 \times 10^{-6}$ (cm<sup>2</sup>/sec)から288時間後で $8.66 \times 10^{-6}$ (cm<sup>2</sup>/sec)と大きくなる傾向を示した。拡散係数(D<sub>n</sub>)は、経過時間による変化はあまり大きくなかった。 $2.00 \times 10^{-5}$ (cm<sup>2</sup>/sec)であった。図5には、F/M比20における経過時間ごとの拡散係数及び汚泥性状を示した。SVIは、ほぼ一定で平均23程度であった。球相当直徑は、0時間で188μmから288時間後に92μmと減少する傾向を示した。拡散係数(D<sub>s</sub>)は、96時間後からわずかに減少する傾向を示した。また、拡散係数(D<sub>n</sub>)は96時間後からわずかに減少する傾向を示した。図6には、F/M比50における経過時間ごとの拡散係数及び汚泥性状を示した。SVIは、ほぼ一定の40程度であった。球相当直徑は、0時間で104μmから48時間後に147μmと増加した。拡散係数(D<sub>s</sub>)は、24時間後からはほぼ一定で平均 $1.79 \times 10^{-6}$ (cm<sup>2</sup>/sec)であった。拡散係数(D<sub>n</sub>)も、ほぼ一定で平均 $1.86 \times 10^{-5}$ (cm<sup>2</sup>/sec)であった。

## 5. おわりに 拡散係数(D<sub>s</sub>)は、汚泥性状や球相当直徑に影響されるが、拡散係数(D<sub>n</sub>)は、(D<sub>s</sub>)に比べてあまり大きな変化が見られなかった。

最後に本研究を行なうにあたり御指導戴いた大沼正郎教授、大村達夫助教、海田輝え助手に感謝の意を表します。

〈参考文献〉 1) J.A. Mueller et al: Floc Sizing Techniques. Applied Microbiology, Jan, 1967, P125~134. 2) 微生物研究法総談会編、微生物学実験法 1971. 3) J.A. Mueller et al: Oxygen Diffusion Through Zoogloal Flocs, Biotechnol. Bioeng., 1968, p331~358

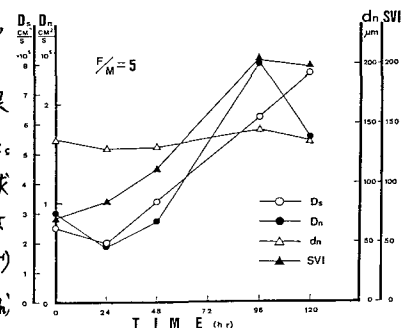


図3. 所に於ける経過時間ごとの拡散係数と汚泥性状

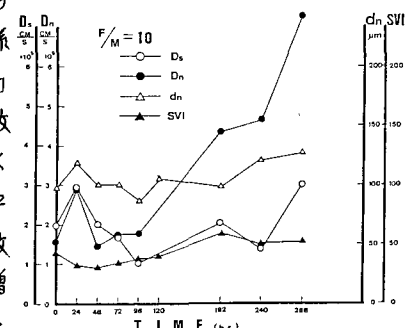


図4. 所に於ける経過時間ごとの拡散係数と汚泥性状

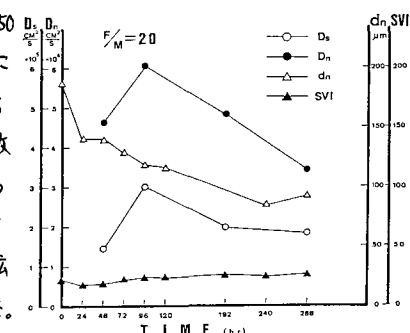


図5 F/M=20における経過時間ごとの拡散係数と汚泥性状

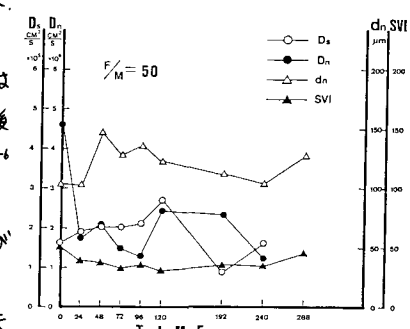


図6 F/M=50における経過時間ごとの拡散係数と汚泥性状